

บทที่ 3

การคำนวณสนามไฟฟ้าของสายส่งด้วยระเบียบวิธีไฟในท่อฟเฟอร์เรนท์

3.1 บทนำ

จากความรู้พื้นฐานเรื่องระเบียบวิธีไฟในท่อฟเฟอร์เรนท์ในบทที่ 3 เมื่อเข้าใจหลักการและขั้นตอนของระเบียบวิธีดังกล่าวแล้ว กายในบทที่ 3 นี้จะเป็นการอธิบายถึงการประยุกต์ใช้สมการของระเบียบวิธีไฟในท่อฟเฟอร์เรนท์ในการคำนวณหาค่าสนามไฟฟ้ารอบสายส่งไฟฟ้าแรงสูง เมื่อมีมนุษย์ใช้อุปกรณ์สื่อสารใกล้บริเวณสายส่ง ดังนั้นในบทนี้จึงได้เสนอแบบจำลองทางคณิตศาสตร์ของสนามไฟฟ้าภายในตัวนำสายส่งไฟฟ้าแรงสูง และประยุกต์ปัญหาค่าขอบเขตตามระเบียบวิธีไฟในท่อฟเฟอร์เรนท์ในการคำนวณหาค่าสนามไฟฟ้า

3.2 แบบจำลองทางคณิตศาสตร์ของสนามไฟฟ้าของสายส่งไฟฟ้าแรงสูง

สำหรับปัญหาค่าศักย์ไฟฟ้าแบบ 2 มิติในระบบพิกัดฉาก สมการเชิงอนุพันธ์แบบปั่นส์ของสามารถเขียนได้ตามสมการที่ (3-1)

$$\nabla^2 \varphi = \frac{\partial^2 \varphi}{\partial x^2} + \frac{\partial^2 \varphi}{\partial y^2} = g(x, y) \quad (3-1)$$

จากสูตรอนุพันธ์แบบตรงกลางและอนุพันธ์อันดับที่ 2 จะได้

$$\frac{\partial^2 \varphi}{\partial x^2} = \frac{\varphi(i+1, j) - 2\varphi(i, j) + \varphi(i-1, j)}{(\Delta x)^2} \quad (3-2)$$

$$\frac{\partial^2 \varphi}{\partial y^2} = \frac{\varphi(i, j+1) - 2\varphi(i, j) + \varphi(i, j-1)}{(\Delta y)^2} \quad (3-3)$$

เนื่องจากระบบภายในงานวิชานี้เป็นรูปสี่เหลี่ยมจัตุรัส ($\Delta x = \Delta y = h$) แทนค่าสมการที่ (3-2) และ (3-3) ในสมการที่ (3-1) จะได้สมการใหม่ดังสมการที่ (3-4)

$$\therefore \varphi(i, j) = \frac{1}{4} [\varphi(i+1, j) + \varphi(i-1, j) + \varphi(i, j+1) + \varphi(i, j-1) - h^2 g(x, y)] \quad (3-4)$$

แบบจำลองสายส่งไฟฟ้าแรงสูง: ค่าสนามไฟฟ้าที่กระจายรอบบริเวณสายส่งไฟฟ้าแรงสูงสามารถอธิบายได้ด้วยสมการที่ (3-5) (Christopoulos, 1995)

$$\nabla^2 \mathbf{E} - \left(\frac{1}{\nu^2} \right) \left(\frac{\partial^2 \mathbf{E}}{\partial t^2} \right) - \mu \sigma \left(\frac{\partial \mathbf{E}}{\partial t} \right) = 0 \quad (3-5)$$

โดยที่ \mathbf{E} คือ สนามไฟฟ้า (electric field)

t คือ เวลา (time)

μ คือ สภาพชานซึ่มได้ทางแม่เหล็ก (permeability)

ν คือ ความเร็วในการแพร่กระจาย (propagation velocity)

σ คือ สภาพนำทางไฟฟ้า (conductivity)

ความเร็วในการแพร่กระจายของสนามไฟฟ้าสามารถอธิบายได้ในรูปความสัมพันธ์ระหว่าง
สภาพยอนทางไฟฟ้า (permittivity : ϵ) กับสภาพชานซึ่มได้ทางแม่เหล็กดังสมการที่ (3-6)

$$\nu = \frac{1}{\sqrt{\mu \epsilon}} \quad (3-6)$$

โดยที่ $\mu = \mu_0 \mu_r$ และ $\epsilon = \epsilon_0 \epsilon_r$ เมื่อ μ_r คือ สภาพชานซึ่มได้ทางแม่เหล็กสัมพันธ์
และ ϵ_r คือ สภาพยอนทางไฟฟ้าสัมพันธ์ เนื่องจากในระบบที่พิจารณาจะกำหนดให้มีสภาวะอากาศ
ทั่วไปซึ่ง $\mu_0 = 4\pi \times 10^{-7}$ H/m $\mu_r = 1.00000037$ $\epsilon_r = 1$ $\epsilon_0 = 8.854 \times 10^{-12}$ F/m และ $\sigma = 0$
แทนค่าพารามิเตอร์ต่างๆ กับสมการที่ (3-6) ลงในสมการที่ (3-5) จะได้

$$\nabla^2 \mathbf{E} - \mu \epsilon \left(\frac{\partial^2 \mathbf{E}}{\partial t^2} \right) = 0 \quad (3-7)$$

จากคุณสมบัติของระบบที่เป็น time-harmonic จะได้

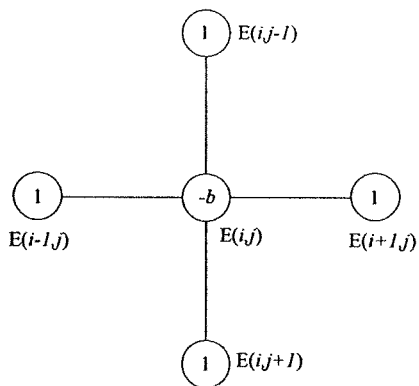
$$\frac{\partial \mathbf{E}}{\partial t} \approx j\omega \mathbf{E} \quad (3-8)$$

$$\frac{\partial^2 \mathbf{E}}{\partial t^2} \approx -\omega^2 \mathbf{E} \quad (3-9)$$

แทนค่าสมการที่ (3-9) ในสมการที่ (3-7) จะได้สมการอธิบายค่าสนามไฟฟ้าของโนดที่ต้องการพิจารณาดังสมการที่ (3-11)

$$\mathbf{E}(i, j) = \frac{1}{(4 - \mu\epsilon\omega^2 h^2)} [\mathbf{E}(i+1, j) + \mathbf{E}(i-1, j) + \mathbf{E}(i, j+1) + \mathbf{E}(i, j-1)] \quad (3-11)$$

จากสมการที่ (3-11) เพื่อให้เห็นภาพการประยุกต์ใช้ระเบียบวิธีไฟในที่ดินเพื่อเรนท์สมการดังกล่าวจะเป็นตัวแทนค่าสนามไฟฟ้าของโนดที่ต้องการพิจารณาเพียง 1 จุด และสามารถเปลี่ยนให้อยู่ในรูปโนดภายนอกในโครงสร้างระเบียบวิธีไฟในที่ดินเพื่อเรนท์ได้ดังรูปที่ 3.1



รูปที่ 3.1 โครงสร้างของระเบียบวิธีไฟในที่ดินเพื่อเรนท์

จากรูปที่ 3.1 จะได้ว่า $b = 4 - \mu\epsilon\omega^2 h^2$ และ 1 คือ ค่าสัมประสิทธิ์หน้าตัวแปรของสนามไฟฟ้า ณ ตำแหน่งพิกัด $\mathbf{E}(i, j)$, $\mathbf{E}(i+1, j)$, $\mathbf{E}(i-1, j)$, $\mathbf{E}(i, j+1)$ และ $\mathbf{E}(i, j-1)$ ที่ปรากฏภายในสมการที่ (3-11) ตามลำดับ นอกจากนี้สำหรับบางบริเวณที่อยู่ตามขอบและมุมของระบบจะมีลักษณะโครงสร้างโนดที่แตกต่างไปจากรูปที่ 3.1 ซึ่งสามารถแสดงโครงสร้างและสมการที่ใช้อธิบายค่าสนามไฟฟ้า ณ บริเวณขอบแบบต่าง ๆ ดังนี้

ตารางที่ 3.1 การประมาณค่าระเบียนวิธีไฟไนท์ดิฟเฟอร์เรนท์ ณ ตำแหน่งโหนดบริเวณค่าขอบ

บริเวณ	โครงสร้าง	สมการ
1) ขอบล่าง (Bottom edge)		$E(i, j) = \frac{1}{(4 + \mu\varepsilon\omega^2 h^2)} [E(i+1, j) + E(i-1, j) + 2E(i, j-1)]$
บริเวณ	โครงสร้าง	สมการ
2) ขอบบน (Top edge)		$E(i, j) = \frac{1}{(4 + \mu\varepsilon\omega^2 h^2)} [E(i+1, j) + E(i-1, j) + 2E(i, j+1)]$
3) ขอบซ้าย (Left edge)		$E(i, j) = \frac{1}{(4 + \mu\varepsilon\omega^2 h^2)} [2E(i+1, j) + E(i, j-1) + 2E(i, j+1)]$
4) ขอบขวา (Right edge)		$E(i, j) = \frac{1}{(4 + \mu\varepsilon\omega^2 h^2)} [2E(i-1, j) + E(i, j-1) + 2E(i, j+1)]$
5) มุมล่างซ้าย (Bottom left corner point)		$E(i, j) = \frac{2}{(4 + \mu\varepsilon\omega^2 h^2)} [E(i+1, j) + E(i, j-1)]$
6) มุมด้านขวา (Bottom right-corner point)		$E(i, j) = \frac{2}{(4 + \mu\varepsilon\omega^2 h^2)} [E(i-1, j) + E(i, j-1)]$

ตารางที่ 3.1 การประมาณค่าระเบียนวิธีไฟไนท์ดิฟเฟอร์เรนท์ ณ ตำแหน่งโหนดบริเวณค่าของ (ต่อ)

บริเวณ	โครงสร้าง	สมการ
7) มนบนซ้าย (Top left-corner point)		$E(i, j) = \frac{2}{(4 + \mu\varepsilon\omega^2 h^2)} [E(i+1, j) + E(i, j+1)]$
8) มนบนขวา (Top right-corner point)		$E(i, j) = \frac{2}{(4 + \mu\varepsilon\omega^2 h^2)} [E(i-1, j) + E(i, j+1)]$

3.3 การคำนวณค่าสถานะไฟฟ้าด้วยระเบียนวิธีไฟไนท์ดิฟเฟอร์เรนท์

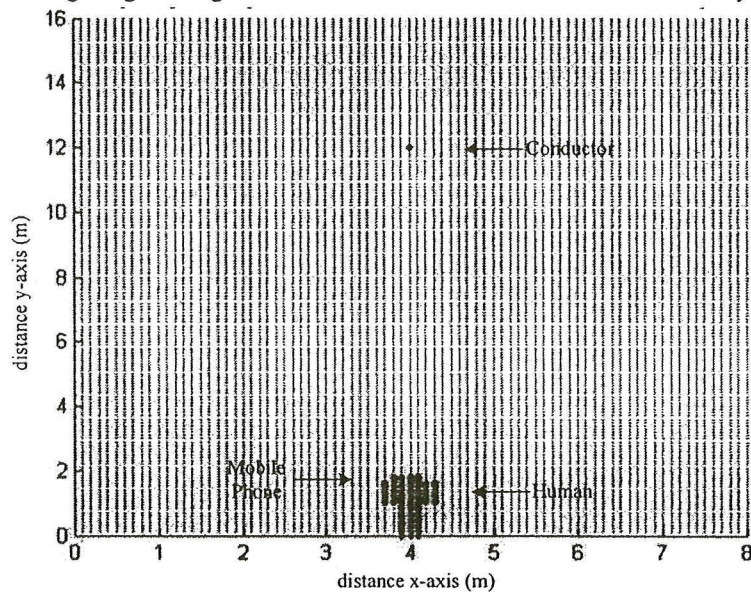
เนื่องจากสมการสถานะไฟฟ้าของระบบสายส่งไฟฟ้าแรงสูงเป็นสมการที่อยู่ในรูปสมการเชิงอนุพันธ์ ซึ่งเป็นการยากที่จะหาผลเฉลยแบบแม่นตรง ดังนั้นเพื่อให้สามารถคำนวณหาค่าสถานะไฟฟ้าที่เกิดขึ้นภายในระบบได้ จึงมีความจำเป็นที่จะต้องอาศัยการหาค่าผลเฉลยแบบประมาณด้วยระเบียนวิธีไฟไนท์ดิฟเฟอร์เรนท์ ซึ่งประกอบไปด้วยขั้นตอนการดำเนินงานต่าง ๆ ดังนี้

3.3.1 การออกแบบกริดของพื้นที่ศึกษา

สำหรับงานวิจัยนี้ระบบที่ใช้ศึกษามีระบบห้ายานาค เริ่มจากระบบไฟฟ้า 1 เฟสจะประกอบไปด้วยระบบไฟฟ้าขนาด 69 kV ระบบไฟฟ้า 3 เฟสจะประกอบไปด้วยระบบไฟฟ้าขนาด 230 kV และ 500 kV ซึ่งในหัวข้อเรื่องการออกแบบกริดของพื้นที่ศึกษานี้ จะยกตัวอย่างเฉพาะระบบไฟฟ้า 1 เฟสเท่านั้น เพื่อให้พอเห็นภาพการออกแบบกริดให้กับระบบ

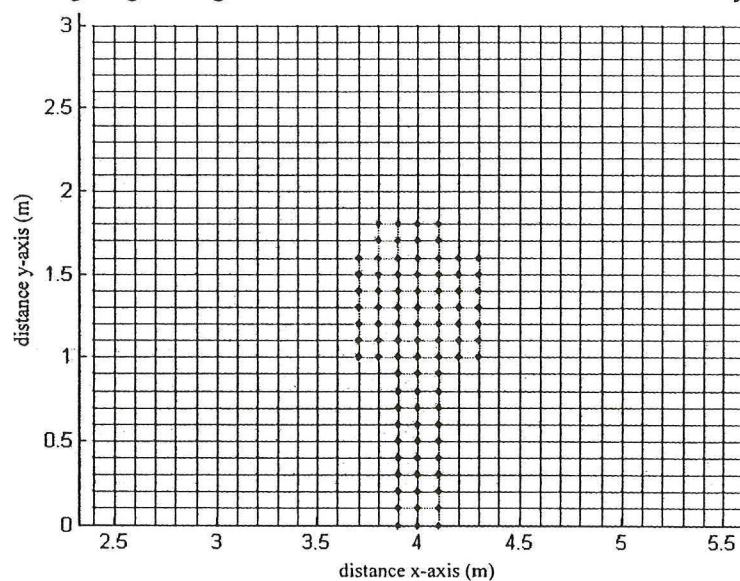
ขั้นตอนแรกเริ่มจากการแบ่งพื้นที่ของระบบสายส่งออกเป็นกริดรูปสี่เหลี่ยมจตุรัส ผ่านการเชื่อมต่อกันระหว่างโหนดต่าง ๆ ภายในระบบ การออกแบบกริดและจุดต่อเชื่อมโหนดต่าง ๆ ได้ใช้โปรแกรม MATLAB™ ที่พัฒนาขึ้น โดยจะมีจำนวนโหนดที่ใช้ภายในระบบ 1 เฟส คือ ระบบขนาด 69 kV มีจำนวนโหนดทั้งหมด 13,041 โหนด ตัวอย่างการออกแบบกริดของระบบไฟฟ้า 1 เฟส 69 kV สามารถแสดงได้ด้วยรูปที่ 3.2 นอกจานี้ภายในแต่ละรูปยังได้แสดงภาพขยาย เพื่อให้เห็นถึงความละเอียดในการออกแบบกริดและการเชื่อมต่อระหว่างโหนด ได้อย่างชัดเจนยิ่งขึ้น

Rectangular grid design for calculation FDM in 69 kV Transmission line system



(ก) การแบ่งกริดรูปสี่เหลี่ยมและการเชื่อมต่อระหว่างโหนดภายในโครงสร้าง

Rectangular grid design for calculation FDM in 69 kV Transmission line system



(ข) ภาพขยายการแบ่งกริดและการเชื่อมต่อโหนดบนริเวณที่สำคัญ

รูปที่ 3.2 โครงสร้างของระบบไฟฟ้าบน 69 kV

3.3.2 การประกอบสมการโนดขึ้นเป็นระบบ

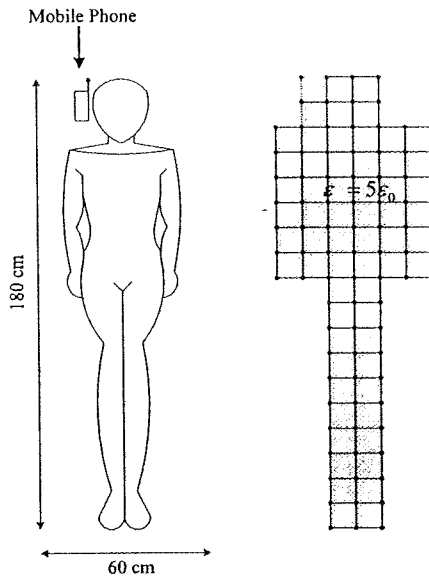
ขั้นตอนนี้เป็นการนำสมการของแต่ละโนดที่มีภายในระบบทั้งหมดมาประกอบรวมกัน จนได้สมการรวมของระบบ จากขั้นตอนในหัวข้อที่ 3.3.1 ถ้าทำการแบ่งลักษณะรูปร่างของปัญหาออกเป็นโนดย่อยทั้งหมด n โนด จะก่อให้เกิดระบบสมการรวมซึ่งประกอบไปด้วยสมการย่อยทั้งหมด n สมการ ดังนั้นจึงได้สมการรวมของงานวิจัยนี้ คือ

$$Ax = b \quad (3.12)$$

$$\begin{bmatrix} A_{11} & A_{12} & A_{13} & \dots & A_{1n} \\ A_{21} & A_{22} & A_{23} & \dots & A_{2n} \\ A_{31} & A_{32} & A_{33} & \dots & A_{3n} \\ \vdots & \vdots & \vdots & \ddots & \vdots \\ \vdots & \vdots & \vdots & \ddots & \vdots \\ A_{n1} & A_{n2} & A_{n3} & \dots & A_{nn} \end{bmatrix}_{sys(n \times n)} \begin{bmatrix} x_1 \\ x_2 \\ x_3 \\ \vdots \\ \vdots \\ x_n \end{bmatrix}_{sys(n \times 1)} = \begin{bmatrix} b_1 \\ b_2 \\ b_3 \\ \vdots \\ \vdots \\ b_n \end{bmatrix}_{sys(n \times 1)} \quad (3.13)$$

- เมื่อ A คือ ค่าสัมประสิทธิ์ของระบบรวม
 x คือ ค่าสนามไฟฟ้าที่ซึ่งไม่ทราบค่า ณ ตำแหน่งโนดต่าง ๆ
 b คือ ค่าแรงภาค nok ที่มากำรหำ ณ ตำแหน่ง โนดต่าง ๆ

จากหัวข้อที่ 3.3.1 เมื่อพิจารณาภาพในการแบ่งคริดของระบบไฟฟ้า 1 เฟส จะเห็นว่า ภายในภาพมีโนดที่มีสีแตกต่างกัน โดยสีที่แตกต่างกันนั้นบ่งบอกถึงความแตกต่างที่เกิดขึ้นของเนื้อวัตถุที่มีอยู่ภายในระบบ เมื่อมีความแตกต่างกันระหว่างวัตถุเกิดขึ้นนั้นหมายถึงสมการของระบบเป็นเชิงไฟฟ้าในที่ฟิฟอร์เรนท์จะต้องเกิดการเปลี่ยนแปลงใหม่ตามค่าสภาพข้อมทางไฟฟ้าของวัตถุแต่ละชนิดเพื่อให้ผลการคำนวณค่าสนามไฟฟ้ามีค่าการจำลองผลใกล้เคียงเหตุการณ์จริงมากที่สุด สำหรับภาพในงานวิจัยนี้จะเห็นว่าวัตถุที่แตกต่างกันเพียง 2 ชนิดเท่านั้น คือ อากาศ กับ ร่างกายของมนุษย์ ขณะนี้ใช้งานโทรศัพท์มือถือ ซึ่งทั้งสองมีค่าสภาพข้อมทางไฟฟ้าสัมพัทธ์ (ε_r) เท่ากับ 1 และ 5 ตามลำดับ จากสมการที่ (3-11) เมื่อคำนึงถึงค่าสภาพข้อมทางไฟฟ้าจะได้สมการในแต่ละโนดที่ คำนึงถึงคุณลักษณะทางเนื้อวัตถุระหว่างอากาศ กับ ร่างกายมนุษย์ บริเวณที่คำนึงเฉพาะอากาศจะได้ตามสมการที่ (3-14) และส่วนบริเวณที่คำนึงเฉพาะร่างกายมนุษย์ จะนำเสนอได้ดังสมการที่ (3-15) ซึ่งการระบุสมการตามรูปร่างมนุษย์จะทำการระบุตามรูปที่ 3.3



รูปที่ 3.3 แบบจำลองมนุษย์สำหรับระบบ微波ไฟฟ้าในท่อเฟอร์เรนท์

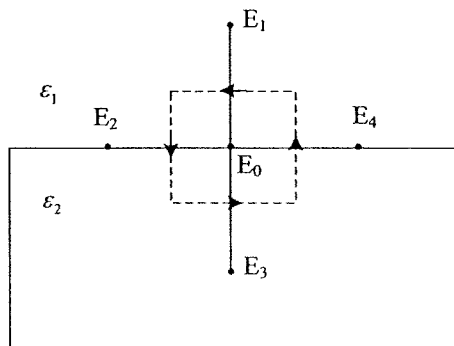
$$E(i, j) = \frac{1}{(4 - \epsilon_0 \mu \omega^2 h^2)} [E(i+1, j) + E(i-1, j) + E(i, j+1) + E(i, j-1)] \quad (3-14)$$

$$E(i, j) = \frac{1}{(4 - 5\epsilon_0 \mu \omega^2 h^2)} [E(i+1, j) + E(i-1, j) + E(i, j+1) + E(i, j-1)] \quad (3-15)$$

นอกจากนี้จะสังเกตได้ว่าภายในโครงสร้างของระบบจะมีบริเวณหนึ่งที่ไม่อนุญาตให้มีการเชื่อมต่อระหว่างอากาศกับมนุษย์ ที่มีความแตกต่างกันของสภาพของทางไฟฟ้า ซึ่งบริเวณดังกล่าวสามารถประเมินสมการโดยใหม่ ณ บริเวณอยู่ประสานระหว่างเนื้อวัสดุที่แตกต่างกันได้ดังนี้

จากกฎของเกาส์บริเวณรอบประสานระหว่างบริเวณที่มีค่าสภาพของทางไฟฟ้าแตกต่างกันจะก่อให้เกิดค่าโดยอิเล็กทริกของสองบริเวณมีค่าเท่ากัน ($D_{1n} = D_{2n}$) จากรูปที่ 3.4 สามารถเขียนสมการที่ (3-16) ได้ดังสมการที่ (3-17)

$$\oint_{\Gamma} D \times dl = \oint_{\Gamma} \epsilon E \times dl = 0 \quad (3-16)$$



รูปที่ 3.4 บริเวณรอบประสานระหว่างบริเวณที่มีค่าสภารอยalty ไฟฟ้าที่แตกต่างกัน

$$4 \frac{(\varepsilon_1 + \varepsilon_2)}{2} \mathbf{E}_0 = \varepsilon_1 \mathbf{E}_1 + \frac{(\varepsilon_1 + \varepsilon_2)}{2} \mathbf{E}_2 + \varepsilon_2 \mathbf{E}_3 + \frac{(\varepsilon_1 + \varepsilon_2)}{2} \mathbf{E}_4$$

$$2(\varepsilon_1 + \varepsilon_2) \mathbf{E}_0 = \varepsilon_1 \mathbf{E}_1 + \varepsilon_2 \mathbf{E}_3 + \frac{(\varepsilon_1 + \varepsilon_2)}{2} (\mathbf{E}_2 + \mathbf{E}_4)$$

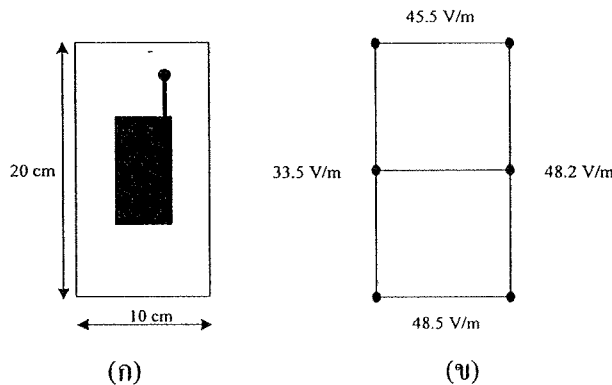
$$\mathbf{E}_0 = \frac{\varepsilon_1}{2(\varepsilon_1 + \varepsilon_2)} \mathbf{E}_1 + \frac{1}{4} \mathbf{E}_2 + \frac{\varepsilon_2}{2(\varepsilon_1 + \varepsilon_2)} \mathbf{E}_3 + \frac{1}{4} \mathbf{E}_4 \quad (3-17)$$

3.3.3 เสื่อนไฟเริ่มต้นและเสื่อนไฟค่าขอนเบต

สำหรับขั้นตอนการประยุกต์เสื่อนไฟเริ่มต้นและเสื่อนไฟค่าขอนเบตที่เกี่ยวข้อง จะมี 2 บริเวณที่กำหนดค่าเริ่มต้น คือ ตัวนำในสายส่งกับโทรศัพท์มือถือ โดยค่าที่กำหนดให้ตัวนำในสายส่งจะเป็นค่าสนามไฟฟ้า ซึ่งค่าสนามไฟฟ้าที่ป้อนใส่ให้กับระบบสามารถคำนวณหาได้จากสมการที่ 3.31 ในบทที่ 3 โดยสิ่งที่ต้องทราบสำหรับใช้คำนวณหาค่าสนามไฟฟ้า คือ ค่าศักยไฟฟ้าของตัวนำ รัศมีตัวนำ ค่าความสูงระหว่างตัวนำกับพื้นดิน และค่าพิกัดที่ต้องการคำนวณ เมื่อคำนวณหาค่าดังกล่าวได้แล้วก็นำค่านั้นไปใส่ในเวกเตอร์ b ณ ตำแหน่งแควรอนด์ที่มีค่าตัวเลขลำดับacco เป็นค่าเดียวกับค่า ณ ตำแหน่งในดของตัวนำนั้น เพื่อเตรียมสำหรับค่าผลเฉลยต่อไป

ส่วนค่าสนามไฟฟ้าจากโทรศัพท์มือถือจะคำนวณให้โทรศัพท์มือถือเป็นรูปสี่เหลี่ยมผืนผ้าที่มีขนาด $5 \times 10 \text{ cm}^2$ ที่มีสนามไฟฟ้าคงที่กระจายรอบบริเวณโทรศัพท์มือถือโดยรอบขนาด $10 \times 20 \text{ cm}^2$ (nokia3210) ดังรูปที่ 3.5 (ก) และสามารถดูอ กแบบกริดสำหรับระเบียบวิธีไฟในที่คิฟเฟอร์เรนท์ได้ดังรูปที่ 3.5 (ข) และนำค่าคงที่ทั้ง 6 จุดของโทรศัพท์มือถือไปใส่ยังเวกเตอร์

b ณ ตำแหน่งแควนิค เพื่อเตรียมสำหรับหาค่าผลเฉลยต่อไปเมื่อมีอนในทำนองเดียวกับการกำหนดเงื่อนไขค่าข้อมูลในด้านนำสายสั่ง



รูปที่ 3.5 เงื่อนไขค่าข้อมูลเขตของ โถรศัพท์มือถือสำหรับ
ระบบที่บินวิชีไฟในที่คิฟเพอร์เรนท์

3.3.4 คำนวณหาค่าตัวแปรต่าง ๆ ภายในระบบ

หลังจากออกแบบกริดและทำการประกอบสมการ โโนดขึ้นเป็นระบบ (A) กับประยุกต์เงื่อนไขเริ่มต้นและเงื่อนไขค่าข้อมูลเขตให้กับระบบ (b) แล้ว จะสามารถคำนวณหาค่าสนามไฟฟ้า ณ ตำแหน่งที่โโนดต่างๆ ที่ต้องการทราบค่า (x) ได้ดังนี้

จากสมการที่ (3-12) จะสามารถหาค่าสนามไฟฟ้า ณ ตำแหน่งที่โโนดต่าง ๆ ได้ดังสมการที่ (3-18)

$$x = A^{-1}b$$

$$\begin{bmatrix} x_1 \\ x_2 \\ x_3 \\ \vdots \\ x_n \end{bmatrix}_{sys(n \times 1)} = \begin{bmatrix} A_{11} & A_{12} & A_{13} & \dots & A_{1n} \\ A_{21} & A_{22} & A_{23} & \dots & A_{2n} \\ A_{31} & A_{32} & A_{33} & \dots & A_{3n} \\ \vdots & \vdots & \vdots & \ddots & \vdots \\ A_{n1} & A_{n2} & A_{n3} & \dots & A_{nn} \end{bmatrix}_{sys(n \times n)}^{-1} \begin{bmatrix} b_1 \\ b_2 \\ b_3 \\ \vdots \\ b_n \end{bmatrix}_{sys(n \times 1)} \quad (3-18)$$

- เมื่อ A คือ ค่าสัมประสิทธิ์ของระบบรวม
 x คือ ค่าสถานะไฟฟ้าที่ยังไม่ทราบค่า ณ ตำแหน่งโโนดต่าง ๆ
 b คือ ค่าแรงงานอกที่มากระทำ ณ ตำแหน่งโโนดต่าง ๆ

3.4 สรุป

ในบทนี้ได้นำเสนอแบบจำลองทางคณิตศาสตร์ของสถานะไฟฟ้าภายในตัวนำสายส่งไฟฟ้าแรงสูง และการประยุกต์ปัญหาค่าข้อมูลตามระเบียบวิธีไฟไนท์ดิฟเฟอร์เรนท์ ซึ่งแบบจำลองทางคณิตศาสตร์จะปราศจากข้อผิดพลาดของสมการอนุพันธ์ย่อยอันดับสอง นอกจานี้ยังคำนึงถึงค่าสภาพของทางไฟฟ้าที่แตกต่างกันของวัตถุต่าง ๆ การประยุกต์ระเบียบวิธีไฟไนท์ดิฟเฟอร์เรนท์เพื่อคำนวณหาค่าสถานะไฟฟ้าภายในบทนี้ จะนำไปสู่การพัฒนาโปรแกรมคำนวณด้วยระเบียบวิธีไฟไนท์ดิฟเฟอร์เรนท์ เพื่อใช้เป็นโปรแกรมจำลองผลระบบที่จะได้กล่าวถึงในบทที่ 6 ต่อไป